

① Structure verticale de l'atmosphèreCiel

1] Une surface A du sol terrestre

* absorbe un flux solaire $\phi_{\text{abs}} = I \times A$

* émet un flux radiatif $\phi_{\text{émis}} = s T_0^4 \times A$

on nous dit qu'il y a l'équilibre, ces 2 flux sont égaux, d'où :

$$T_0 = (I/s)^{1/4}$$

AN: $T_0 = (220/5,67)^{1/4} \times 10^{8/4} \approx 2,5 \times 10^{-2} \text{ K} \approx -23^\circ \text{C}$

(ou plutôt $-2 \cdot 10^{-1} \text{ }^\circ \text{C}$)

Cette valeur est anormalement basse,

la température moyenne du sol terrestre étant de 15°C .

2] Le nouveau modèle est schématisé ci-dessous

* L'équilibre de l'atmosphère impose :

$$s T_0^4 = 2 \times s T_a^4 \quad (1)$$

soit $T_0 = 2^{1/4} \times T_a \quad (1')$

* L'équilibre du sol terrestre impose :

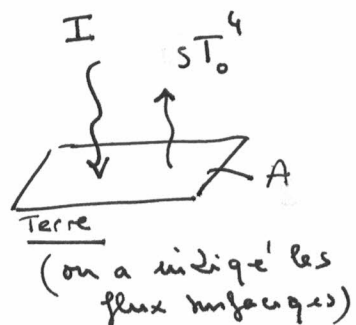
$$I + s T_a^4 = s T_0^4 \quad (2)$$

En injectant (1) dans (2) : $I + s T_a^4 = 2 s T_a^4$

soit $I = s T_a^4$

$$\rightarrow T_a = (I/s)^{1/4}$$

La température de -23°C obtenu qu. 1 est ici celle de l'atmosphère



Puis avec (1') : $T_0 = 2^{1/4} \times \left(\frac{T}{S}\right)^{1/4}$

AN : $T_0 \approx 1,2 \times 2,5 \times 10^2 \text{ K} = \underline{3,0 \times 10^2 \text{ K} = 27^\circ\text{C}}$

(ou plutôt $3 \cdot 10^1^\circ\text{C}$)

R₁: La température est un peu surevaluée avec ce modèle.

→ L'effet mis en évidence est l'effet de Serre.

3] les principaux constituants sont O₂ et N₂ en proportions $\approx 20\%$ et 80%

D'où une masse molaire moyenne :

$$M_{\text{air}} \approx 0,2 M_{O_2} + 0,8 M_{N_2} \approx 29 \text{ g.mol}^{-1}$$

note' M dans la suite

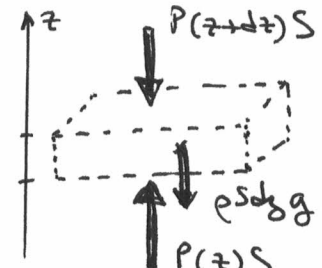
4) . L'équilibre hydrostatique de l'atmosphère, se traduit par l'équation:

$$\frac{dp}{dz} = -\rho g$$

Preuve: on applique le théorème du centre d'inertie à une tranche $[z; z+dz]$ d'atmosphère, de base S.

À l'équilibre, il vient, en project° sur (Oz) :

$$\underbrace{P(z)S - P(z+dz)S}_{-\frac{dp}{dz}(z) dz \times S} - \underbrace{\rho Sdg g}_{\text{masse de la tranche}} = 0$$



. Ceci va nous permettre d'établir T(z) car ρ dépend de T :

* Par la loi des gaz parfaits : $pv = nRT$ soit $PM = \rho RT$
 $\hookrightarrow m/M$

La relation d'équilibre devient : $\frac{dp}{dz} = -\frac{Mg}{RT} \times P \quad (1)$

* Puis depuis l'hypothèse isentropique on a :

$T p^{\frac{1}{\gamma}-1}$ indép. de z , soit en différenciant logarithmiquement

$$\frac{dT}{T} + \left(\frac{1}{\gamma} - 1\right) \frac{dp}{p} = 0 \quad (2)$$

* (1) donne : $\frac{dp}{p} = - \frac{Mg}{RT} dz$

(2) donne : $\frac{dp}{p} = \frac{\gamma}{\gamma-1} \frac{dT}{T}$

$$\left. \begin{array}{l} \text{j'ai} \\ \frac{dT}{dz} = - \frac{\gamma-1}{\gamma} \frac{Mg}{R} \end{array} \right\}$$

note I
question
suivante

La température évolue donc linéairement
avec z selon la loi :

$$T(z) = T_0 + \Gamma z$$

et

$$\begin{aligned} \Gamma &= - \frac{\gamma-1}{\gamma} \frac{Mg}{R} < 0 \\ &= - \frac{Mg}{C_p} \end{aligned}$$

On effet $\gamma = \frac{C_p}{C_v} = \frac{C_p}{C_p-R}$ d'où $\gamma-1 = \frac{R}{C_p-R}$
 Relation de Raoult et $\frac{\gamma-1}{\gamma} = \frac{R}{C_p}$

5]

on sait que pour un gaz parfait diatomique $C_p = \frac{7}{2} R$

donc $\Gamma = - \frac{2}{7} \frac{Mg}{R} = - \frac{2}{7} \frac{29 \cdot 10^{-3} \cdot 9,8}{8,314} \text{ en K.m}^{-1}$

or $\frac{29}{7} \approx 4,1$ et $\frac{8,314}{2} \approx 4,1$ donc $\frac{2 \times 29}{7 \times 8,314} \approx 1$

j'ai $\underline{\underline{\Gamma \approx - 9,8 \cdot 10^{-3} \text{ K.m}^{-1}}} \quad (-1 \cdot 10^{-2} \text{ env})$

Rp: Cette valeur est un peu élevée (en valeur absolue), la valeur expérimentale entre 0 et 10 km étant entre -6 et $-7 \cdot 10^{-3} \text{ K.m}^{-1}$.

6]

Etat initial du système : $\begin{cases} T_i = T(z_i) \\ P_i = P(z_i) \end{cases}$

Etat final : $\begin{cases} T_f = ? \\ P_f = P(z_i + dz) \end{cases}$

or, l'évolution étant adiabatique et réversible, elle est isentropique, donc la relation (2) de question 4] s'applique :

$$\frac{dT}{T} + \underbrace{\left(\frac{1}{\gamma} - 1\right)}_{\frac{1-\gamma}{\gamma}} \frac{dP}{P} = 0 \quad \text{avec} \quad \begin{cases} \frac{dT}{T} = \frac{T_f - T_i}{T_i} \\ \frac{dP}{P} = \frac{P_f - P_i}{P_i} \end{cases}$$

$$\frac{1-\gamma}{\gamma} = -\frac{R}{C_p}$$

Alors $\left(\frac{T_f}{T_i} - 1\right) = -\frac{R}{C_p} \left(1 - \frac{P_f}{P_i}\right)$

ou encore : $T_f = T_i \left(1 - \frac{R}{C_p} \left(1 - \frac{P_f}{P_i}\right)\right)$ < T_i car $P_f < P_i$

7]

- Si $\frac{T_f < T(z_i + dz)}{P_f = P(z_i + dz)}$ alors $P_f > P(z_i + dz)$ ($\ddot{z} = \rho \frac{RT}{M}$)

or, la parcelle d'atmosphère est soumise à son poids et à la puissance d'Archimède dont la résultante se écrit

$$\vec{dF} = (\rho(z_i + dz) - \rho_f) dV \vec{u}_z$$

↙ ↓ ↘
 masse volumique volume de la parcelle
 du "fluide déplacé" masse volumique de la parcelle

donc $\rho_f > \rho(z_i + dz) \Rightarrow \vec{dF} \cdot \vec{u}_z < 0$: la parcelle

redescend vers sa position z_i initiale

→ L'atmosphère est stable.

- Inversement $T_f > T(z_i + dz) \Rightarrow \rho_f < \rho(z_i + dz)$

donc $\vec{dF} \cdot \vec{u}_z > 0$

la particule continue son ascension et l'atmosphère est **INSTABLE**.

Rq: on peut répondre à cette question sans faire référence à la pression d'Archimète mais en reprenant la démo de l'équilibre hydrostatique faite question 4].

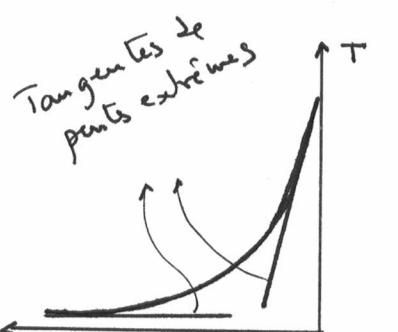
A¹ (à l'altitude $z_i + dz$, l'atmosphère a une masse volumique $\rho(z_i + dz)$ qui permet exactement au poids d'équilibrer les forces pressantes. Si la parcelle étudiée possède une masse volumique $\rho_f > \rho(z_i + dz)$, son poids va plus intense que la résultante des forces pressantes et elle descend. CQFD.

8] Dans le cas marginalement stable où $T_f = T_i(z + dz)$, le gradient Γ n'est exactement celui calculé dans les qns. 4] et 5].

Le cas d'une atmosphère isentropique étudié plus haut est donc un cas limite en termes de stabilité.

→ Un modèle d'atmosphère tel que $|\Gamma| < |\Gamma_{\text{isentropique}}|$ est stable, tandis qu'un modèle tel que $|\Gamma| > |\Gamma_{\text{isentropique}}|$ est instable.

9] Je trouve plus facile de visualiser le gradient en "tournant" le graphhe de 90° afin d'avoir T en fonction de z



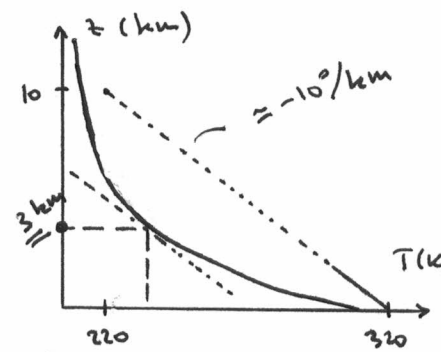
→ Bas couches: Fort gradient de T , en valeur absolue, que j'évalue à $\approx 23^\circ/\text{km}$

z
↓
Hauts couches
Bas couches

→ Hauts couches: Très faible gradient de T , en valeur absolue, que j'évalue à quelque chose d'inférieur à $0,1^\circ/\text{km}$

→ la partie basse de l'atmosphère est donc instable tandis que la partie haute est stable.

Si on veut être quantitatif, il faut tracer une droite de pente $\approx -10^\circ/\text{km}$ qui correspond à l'identité et utiliser les résultats de la qu. 8]



(on peut par ex tracer une droite entre (10 km, 220 K) et (0 km, 320 K) puis la parallèle à cette droite qui est tangente au graphique, ce qui donne le point limite tq $T = T_{\text{isentr.}}$)

↳ L'atm est stable au dessus de 3 km, instable au dessous.

10] On constate qu'entre 0 et $\approx 11 \text{ km}$, le gradient est constant et $\approx -7^\circ/\text{km}$, ce qui n'est pas le cas de $T_{\text{isentr.}}$, mais légèrement plus faible en valeur absolue, comme indiqué dans le texte.

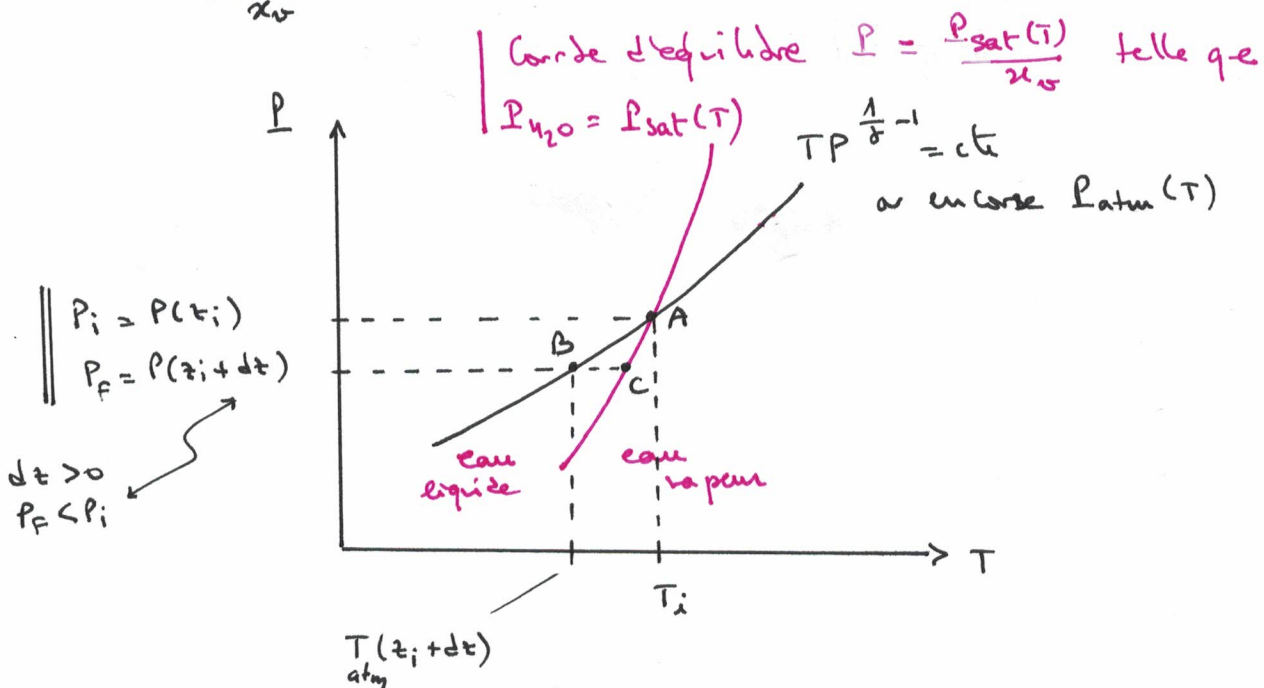
↪ Ceci confirme que c'est bien la partie basse de l'atm. qui est instable du pt de convection et qui constitue la troposphère.

↪ En revanche, cette troposphère s'étend jusqu'à 11 km et non jusqu'à 3 km comme on aurait pu le penser d'après l'analyse de la qu. 9].

On constate enfin que la partie haute entre 11 et 15 km est modélisée par une température indép de z (légèrement inférieure à 220 K), ce qui n'est cohérent avec le très faible gradient observé sur le figure 1 ($< 0,1^\circ/\text{km}$ soit $< 0,4^\circ$ entre 11 et 15 km).

↪ cette partie haute sur la stratosphère.

11] Tracé sur un diagramme (Pression, température) la courbe $T P^{\frac{1}{\delta}-1} = \text{cte}$ qui caractérise l'atmosphère marginalement stable considérée ici, ainsi que la courbe $P_{\text{sat}}(T)$ associée à l'eau :



On considère une parcelle à (T_i, P_i) telle que la pression partielle en eau $P_{H_2O} = \chi_{H_2O} P_i = P_{\text{sat}}(T_i)$ (Point A)

Quand T augmente et que la parcelle évolue de manière identique P diminue (nous sommes dans l'équilibre mécanique, comme expliqué au préambule à la qu. 6]) et T diminue aussi en suivant théoriquement la courbe $TP^{\frac{1}{\delta}-1} = \text{cte}$ ($A \rightarrow B$)

Nos si P_{H_2O} devient $> P_{\text{sat}}(T)$, l'eau doit se liquéfier (pour maintenir $P_{H_2O} \leq P_{\text{sat}}(T)$) ; ce phénomène de liquéfaction (ou condensation) de l'eau est exothermique et réchauffe donc la parcelle dont la temp. finale devient donc $> T_{\text{atm}}(z_i + dt)$ (P final entre B et C, mais si il y a équilibre $L = V$)

Dans d'après la qu. 7], ceci produit une ascension de la parcelle ! On voit en outre un nuage apparaître.



Cette question est infaillible. Corriger à son le cache du programme car il faut savoir que la condition de condensation de la vapeur d'eau dans l'air est

$$\frac{\text{pression partielle}}{\text{d'eau dans l'air}} > \frac{P_{\text{sat}}}{n_{\text{eau}}} (T)$$

12]

$$n_v = \frac{n_v}{n_v + n_a} \quad \Leftrightarrow \quad (n_v + n_a) n_v = n_v$$

$$\text{en différencie : } dn_v \cdot n_v + (n_v + n_a) dn_v = dn_v \\ (n_a = \text{cte})$$

$$\begin{aligned} \text{i.e. } dn_v (n_a + n_v) &= dn_v (1 - n_v) \\ &= dn_v \times \frac{n_a}{n_a + n_v} \end{aligned}$$

d'où

$$dn_v = dn_v \times \frac{n_a}{(n_a + n_v)^2} \underset{n_a \gg n_v}{\approx} \frac{dn_v}{n_a}$$

13]

On écrit que pour une variation d'altitude dz , la variation d'entropie totale est nulle, en comptant la variation d'entropie de l'eau qui se liquéfie / condense et la variation d'entropie du gaz (air + eau qui reste gazeuse)

$$dS_{\text{eau}} \underset{\text{qui condense}}{+} dS_{\text{eau}} \underset{\text{qui reste}}{+} dS_{\text{air}} = 0$$

neglige devant dS_{air} car $n_v \ll n_a$

$$\begin{aligned} dn_{\text{eig}} \times \underbrace{(H_{m,e} - H_{m,g})}_{-\Delta_{\text{vap}} H} / T \\ - dn_v \end{aligned}$$

$$n_a C_p d \left(\ln(T P^{\frac{1}{\gamma}-1}) \right)$$

$$= n_a C_p \left\{ \underbrace{\frac{dT}{T}}_{\frac{1-\gamma}{\gamma}} + \left(\frac{1}{\gamma} - 1 \right) \frac{dP}{P} \right\}$$

$$\frac{1-\gamma}{\gamma} = - \frac{R}{C_p}$$

9

dans : $\underbrace{dn_v \times \frac{\Delta_{\text{vap}}H}{T}} + n_a C_p \frac{dT}{T} - n_a R \frac{dp}{p} = 0$

 $n_a \times dx_v$

or d'après l'équilibre hydrostatique $\frac{dp}{p} = -\rho g dz = -\frac{Mg}{RT} dz$

d'où finalement :

$$n_a dx_v \frac{\Delta_{\text{vap}}H}{T} + n_a C_p \frac{dT}{T} + n_a \frac{Mg}{T} dz = 0$$

$$\therefore \frac{n_a}{T} dz$$

$$\boxed{\frac{dx_v}{dz} \Delta_{\text{vap}}H + C_p \frac{dT}{dz} + Mg = 0}$$

CFD.

14] Intégrons la relation précédente entre $z=0$ et $z=h$:

$$\underbrace{(x_v(h) - x_v(0))}_{=0} \underbrace{\Delta_{\text{vap}}H}_{=x_v^{(i)}} + \underbrace{C_p(T(h) - T(0))}_{h \times \Gamma_h^1} + \rho g h = 0$$

$$\rightarrow \boxed{\Gamma_h = \frac{x_v^{(i)} \Delta_{\text{vap}}H}{C_p h} - \frac{\Gamma_d}{C_p}}$$

avec $C_p = \frac{7}{2} R$ pour un gaz parfait diatomique

On remarque que $\Gamma_h = \underbrace{\Gamma_{\text{isentropic}}}_{<0} + \underbrace{\frac{x_v^{(i)} \Delta_{\text{vap}}H}{C_p h}}_{>0}$

$$\therefore |\Gamma_h| < |\Gamma_{\text{isentropic}}|$$

ce qui est conforme aux indications du texte

comme l'est de la constante de l'eau qui subit un gradient ostensible précisément

15] $\Gamma_4 = \underbrace{\Gamma_{\text{isentropic}}}_{-9,8 \cdot 10^{-3} \text{ K.m}^{-1}} + \underbrace{\frac{4/100 \times 4,1 \cdot 10^4}{\frac{7}{2} \cdot 8,314 \cdot 10^4}}_{\approx 4,1} \approx \frac{-4,1 \cdot 10^{-3} \text{ K.m}^{-1}}{(-4 \cdot 10^{-3} \text{ m})/2}$

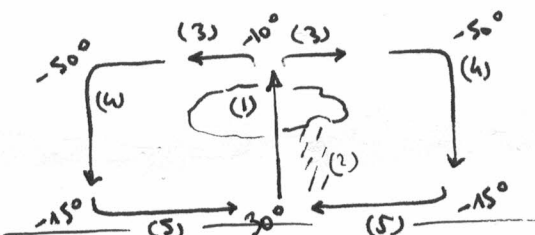
cf qu. 5]

$$= \frac{4}{-4,1} = 5,7 \cdot 10^{-3} \text{ K.m}^{-1}$$

on obtient un gradient plus faible que celui du modèle international ($\approx 40\%$ plus faible) mais ceci a été annoncé dans le préambule à la qv. 11].

- 16] . On peut imaginer que la température de surface n'est plus élevée au voisinage de l'équateur tout simplement parce que le flux superficiel venant du soleil y est plus intense (terme I de la qv. 1) , les rayons solaires arrivant en incidence quasi normale sur le sol (contrairement aux latitudes plus élevées)

. Propriétés explicatives de la circulation de Hadley :



- ① L'instabilité décrite à la question 11 fait monter en altitude l'air humide au niveau de l'équateur.
- ② A mesure qu'il monte cet air se refroidit et l'humidité qu'il contient se condense formant des nuages de gouttelettes d'eau qui retombent ensuite au sol sous forme de précipitations équatoriales
- ③ Arrivé au niveau de la stratosphère cet air s'est asséché et ne peut donc plus monter ; mais comme un flux d'air venant du sol le passe il le chasse vers le nord ou le sud de l'équateur.
- ④ L'air se refroidit à mesure qu'il s'éloigne des pôles et au retour au niveau des latitudes de $\pm 30^\circ$ le gradient de température "sec" du modèle international , avec un flux d'air descendant (pourquoi à ces latitudes?)
- ⑤ Pour compléter le cycle , un flux d'air doit exister au niveau du sol des zones de haute latitude vers l'équateur ; l'air monte alors en température et se charge en humidité au contact de l'océan .

11

17]

$$dG_{e,m} = -S_{e,m}(T,P) dT + V_{e,m}(T,P) dP$$

$$dG_{v,m} = -S_{v,m}(T,P) dT + V_{v,m}(T,P) dP$$

$$G = n_v G_{v,m}(T,P) + (n-n_v) G_{e,m}(T,P)$$

18]

On veut que G soit minimale, donc que pour un état initial d'équilibre liquide-vapeur caractérisé par (T_1, P_1, n_v) , toute variation $d n_v$ de la quantité gazeuse soit associée à une différentielle $dG = 0$

$$\text{Or, si } (T_1, P_1) \text{ fixes : } dG = d n_v G_{v,m}(T_1, P_1) + \underbrace{d(n-n_v)}_{= -d n_v} G_{e,m}(T_1, P_1)$$

$$\therefore dG = d n_v (G_{v,m}(T_1, P_1) - G_{e,m}(T_1, P_1))$$

$$dG = 0 \Leftrightarrow d n_v$$

$$\Rightarrow$$

$$G_{v,m}(T_1, P_1) = G_{e,m}(T_1, P_1).$$

19]

$$A' \left\{ T, P_{\text{sat}}(T) \right\} :$$

$$G_{v,m}(T, P_{\text{sat}}(T)) = G_{e,m}(T + \Delta T, P_{\text{sat}}(T))$$

$$A' \left\{ T + \Delta T, P_{\text{sat}}(T + \Delta T) \right\} : \\ = P_{\text{sat}}(T) + \Delta P_{\text{sat}}$$

$$G_{v,m}(T + \Delta T, P_{\text{sat}} + \Delta P_{\text{sat}}) = G_{e,m}(T + \Delta T, P_{\text{sat}} + \Delta P_{\text{sat}})$$

$$\text{En soustrayant on joint apparaît : } \underline{dG_{v,m}} = \underline{dG_{e,m}}$$

et en utilisant la q.v. 17], il vient :

$$-\underline{S_{v,m} dT + V_{v,m} dP_{\text{sat}}} = -\underline{S_{e,m} dT + V_{e,m} dP_{\text{sat}}}$$

si $S_{v,m}$ $S_{e,m}$ $V_{v,m}$ $V_{e,m}$ sont calculés à T et $P_{\text{sat}}(T)$

Donc :

$$\frac{dP_{\text{sat}}}{dT} = \frac{S_{v,m} - S_{e,m}}{V_{v,m} - V_{e,m}}$$

or $G = H - TS$ donc $S = \frac{H}{T} - \frac{G}{T}$

Ainsi $S_{v,m} - S_{e,m} = \underbrace{\frac{H_{v,m} - H_{e,m}}{T}}_{=} - \underbrace{\frac{G_{v,m} - G_{e,m}}{T}}_{=0 \text{ d'après la q.v. 18}}$
 $= \frac{\Delta_{\text{vap}}H}{T}$

cela :

$$\boxed{\frac{dP_{\text{sat}}}{dT} = \frac{\Delta_{\text{vap}}H}{T(V_{v,m} - V_{e,m})}}$$

→ Comme $\Delta_{\text{vap}}H > 0$ et $V_{v,m} > V_{e,m}$

$\frac{dP_{\text{sat}}}{dT} > 0$: P_{sat} augmente avec T

20]

Écrivons $V_{v,m} = \frac{RT}{P_{\text{sat}}} \gg V_{e,m}$. Il vient :

$$\frac{dP_{\text{sat}}}{dT} = \frac{\Delta_{\text{vap}}H}{RT^2/P_{\text{sat}}} \approx \frac{1}{P_{\text{sat}}} \frac{dP_{\text{sat}}}{dT} = \frac{\Delta_{\text{vap}}H}{R} \cdot \frac{1}{T^2}$$

qui s'intègre en :

$$\ln\left(\frac{P_{\text{sat}}(T)}{P_{\text{sat}}(T_0)}\right) = \underbrace{\frac{\Delta_{\text{vap}}H}{R}}_{\text{noté } C} \left(-\frac{1}{T} + \frac{1}{T_0}\right)$$

21]

??

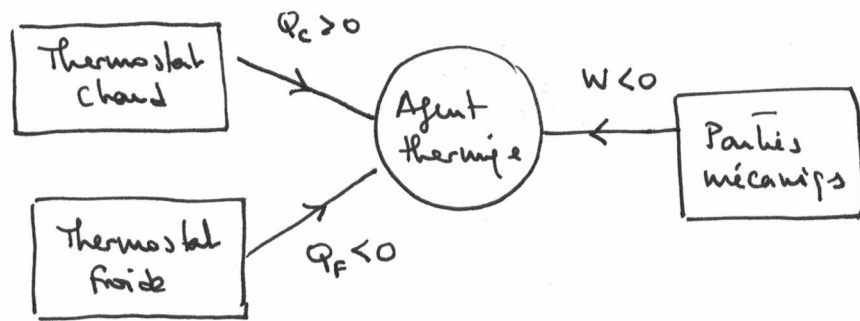
Je dirais très qualitativement que la condensation dans les nuages diffère pour les 2 isotopes, donc que la vapeur d'eau qui atteint la stratosphère et est transportée vers les hautes latitudes n'a pas la même composition isotopique que les océans (elle est affaiblie dans l'isotope qui s'est le plus condensé et est le plus retourné à l'océan par précipitation); et que cette différence de composition dépend sans doute de la température globale de la Terre; enfin, que l'on retrouve cette vapeur d'eau sous forme de calotte glaciaire aux pôles.

② La troposphère ressemble à une machine thermique.

- Il y a quelque chose d'un peu troublant dans cette approche : le système que l'on cherche à modéliser est un système qui contient un fluide en écoulement (le courant atmosphérique) évoluant en régime permanent de façon cyclique (circulation de Hadley).
 Or, le modèle de machine thermique proposé met en jeu un fluide qui subit successivement 4 transformations dont les deux sont précisées, ce qui correspond davantage à une machine à l'agent thermique et en vase clos (type moteur de voiture) et non en écoulement.
- De ce fait, pour répondre correctement aux questions, il faut appliquer les principes comme pour un système en vase clos et non comme pour un système en écoulement permanent (le schéma de la figure 4 est à ce titre troublant et pourrait être mal interprété, avec les 4 flèches qui font penser à un écoulement, si on le rapproche de la figure 3... Il s'agit en réalité d'un schéma formel)
- Autre petite difficulté : habituellement on étudie des machines à l'agent thermique et en contact avec des pièces mécaniques avec lesquelles le travail se échange'. Ici, la puissance mécanique délivrée serv à entretenir le courant atmosphérique et est dissipée au sein même du fluide de la machine ...

22

Effectuons un schéma formel de la machine :



les grandeurs énergétiques sont écrites pour 1 cycle de fonctionnement.

Par définition :

$$\xi = \frac{\text{Terme énergétique utile}}{\text{Terme énergétique total}} = \frac{-W}{Q_c}$$

Appliquons le 1^{er} principe et le 2nd principe à l'agent thermique sur 1 cycle de fonctionnement :

$$\underbrace{\Delta U}_{\text{1 cycle}} = W + Q_f + Q_c ; \quad \underbrace{\Delta S}_{\text{1 cycle}} = \underbrace{S_c}_{=0} + \underbrace{S_c}_{=0} = \frac{Q_c}{T_c} + \frac{Q_f}{T_f} \geq 0$$

= 0 car U est une fonction d'état

d'où

$$\left\{ \begin{array}{l} W + Q_f + Q_c = 0 \quad (1) \\ \frac{Q_c}{T_c} + \frac{Q_f}{T_f} \leq 0 \quad (2) \end{array} \right. \text{ ou } \frac{Q_f}{Q_c} \leq -\frac{T_f}{T_c} \quad (2')$$

Alors $\xi = \frac{-W}{Q_c} = \frac{Q_c + Q_f}{Q_c} = 1 + \frac{Q_f}{Q_c} \leq 1 - \frac{T_f}{T_c}$

par (1) par (2')

cela :

$$\xi \leq \xi_c = 1 - \frac{T_f}{T_c}$$

23

Dans le fonctionnement d'un moteur, l'agent thermique reçoit de la chaleur de la source chaude et en fournit à la source froide, donc :

$$Q_1 > 0 ; Q_2 < 0$$

Or, par définition de la résistance thermique :

$$Q_1 = \frac{1}{R} (T_c - T_1) \times C \quad \& \quad Q_2 = \frac{1}{R} (T_f - T_2) \times C$$

Alors $\begin{cases} Q_1 > 0 & \Rightarrow T_c > T_1 \\ Q_2 < 0 & \Rightarrow T_f < T_2 \end{cases}$

D'où au final :

$$T_f < T_2 < T_1 < T_c$$

24] Comme écrit ci-dessous :

$$\begin{aligned} Q_1 &= \frac{1}{R} (T_c - T_1) \times \tau \\ Q_2 &= \frac{1}{R} (T_f - T_2) \times \tau \end{aligned}$$

25] $P = -\frac{W}{2\tau} = \frac{Q_1 + Q_2}{2\tau} \Rightarrow P = \frac{1}{2R} \{ (T_c - T_1) + (T_f - T_2) \}$

1er principe à l'oeuvre
durée totale du cycle (les étapes 1 et 3 ont même durée τ ; les étapes 2 et 4 sont de durée $\ll \tau$)

26] Comme à la qu. 22] : $\frac{Q_1}{T_1} + \frac{Q_2}{T_2} \leq 0$

Δ temp. effectifs des sources chaude et froide pour le système Fe

d'où

$$\frac{T_c}{T_1} - 1 + \frac{T_f}{T_2} - 1 \leq 0$$

27] L'égalité dans l'inégalité ci-dessus donne

$$T_2 = \frac{T_f}{2 - T_c/T_1} \rightarrow \frac{T_2}{T_c} = \frac{\eta}{2 - 1/x}$$

d'où $P = \frac{T_c}{2R} \left(1 - \underbrace{\frac{T_1}{T_c}}_x + \underbrace{\frac{T_f}{T_c} - \frac{T_2}{T_c}}_{\eta} \right)$ d'après la qu. 25]

i.e. $P = \frac{T_c}{2R} \left(1 - x + \eta - \frac{\eta}{2 - 1/x} \right)$

ou encore :

$$P = \frac{T_c}{2R} f(x, \eta)$$

avec $f(x, \eta) = \left(1 - x + \eta - \frac{\eta}{2x - 1} \right)$

$$(x = 1 + \eta - x - \frac{\eta x}{2x - 1})$$

28]

L'égalité dans l'inégalité de la qu 26] donne :

$$\frac{T_C}{T_1} - 2 + \frac{T_F}{T_2} = 0 \quad \text{d'où} \quad \frac{T_1}{T_C} = \frac{1}{2 - \frac{T_F}{T_2}} \quad \underbrace{\frac{T_F}{T_2}}_{>0}$$

donc nécessairement $\frac{T_1}{T_C} = x > \frac{1}{2}$

{ On n'a pas besoin de la qu 23] une sembla-t-il ...
celle-ci montre que $x < 1$! }

29]

Cherchons comment f varie avec x à y fixé. Pour cela étudions :

$$\begin{aligned} \frac{\partial f}{\partial x}(x, y) &= -1 \times \left(1 - \frac{y}{2x-1}\right) + (1-x) \times \frac{2y}{(2x-1)^2} \\ &= -1 + \frac{y}{2x-1} + \frac{2y(1-x)}{(2x-1)^2} \\ &= \frac{1}{(2x-1)^2} \left(- (2x-1)^2 + y(2x-1) + 2y(1-x) \right) \\ &= \frac{1}{(2x-1)^2} \left(-4x^2 - 1 + 4x + 2yx - y + 2y - 2yx \right) \\ &= \frac{1}{(2x-1)^2} \underbrace{\left(-4x^2 + 4x - 1 + y \right)}_{\text{polynôme de degré 2, concave,}} \end{aligned}$$

qui s'annule en $(x^-; x^+)$ que l'on va calculer :

$$\text{Discriminant : } \Delta = 16 + 16(-1+y) = 16y$$

$$\begin{cases} x^- = \frac{-4 + 4\sqrt{y}}{-8} = \frac{1 - \sqrt{y}}{2} \\ x^+ = \frac{-4 - 4\sqrt{y}}{-8} = \frac{1 + \sqrt{y}}{2} \end{cases}$$

Compte tenu de la concavité' $\frac{\partial f}{\partial x} \geq 0 \Leftrightarrow x^- \leq x \leq x^+$

→ f croît donc avec x dans cet intervalle et est maximale

$$\text{en } x^+ = \frac{1+\sqrt{\gamma}}{2}$$

qui se bien entre
 $\frac{1}{2}$ et 1 comme attendu

→ Cette valeur max est :

$$P_{\max} = \frac{T_c}{2R} \underbrace{\left(1 - \frac{1+\sqrt{\gamma}}{2}\right)}_{\frac{1-\sqrt{\gamma}}{2}} \underbrace{\left(1 - \frac{\gamma}{1+\sqrt{\gamma}-1}\right)}_{1-\sqrt{\gamma}}$$

d'où $P_{\max} = \frac{T_c}{4R} (1-\sqrt{\gamma})^2$ $\left(f(x^+, \gamma) = \frac{(1-\sqrt{\gamma})^2}{2}\right)$

30 . $\xi = \frac{-W}{Q_c} = \frac{P \times 2\eta}{\frac{1}{R} (T_c - T_1) \times 2} = \frac{\frac{T_c}{2R} f(x, \gamma) \times 2}{\frac{T_c}{R} \left(1 - \frac{T_1}{T_c}\right)}$

q.v. 22] note'
 ici Q_1

d'où $\xi = \frac{f(x, \gamma)}{1-x}$

et $\xi(x^+) = \frac{1}{2} \frac{(1-\sqrt{\gamma})^2}{1 - \frac{1+\sqrt{\gamma}}{2}} \rightarrow \boxed{\xi(x^+) = 1-\sqrt{\gamma}}$

org!

• Or on a vu que $\xi \leq \xi_c = 1 - T_f/T_c = \frac{1-\gamma}{2}$

↓
rendement de Carnot

Comme $0 < \gamma \leq 1$, $\sqrt{\gamma} \geq \gamma$ donc $1-\sqrt{\gamma} \leq 1-\gamma$

ce qui montre que $\underline{\xi(x^+) \leq \xi_c}$

31]

. le texte nous dit que les étapes ② et ④ de détente et de compression peuvent être effectuées en restant irreversibles.

↪ les étapes irreversibles sont nécessairement les étapes de transfert thermique ① et ③

Toutefois, la situation est délicate puisqu'il a également été dit que ces étapes ① et ③ étaient isothermes et à la question 26) on les a suffisés "reversibles pour le système Fe " et on a remplacé l'inégalité de Carnot-Claussius par une égalité ...

Il faut comprendre que la source d'irréversibilité de ces étapes en revient "dans les résistances thermiques" liant les sources froide et chaude à Fe i.e. dans l'existence de flux thermiques entre les zones de températures différentes $T_c \rightarrow T_1$ et $T_F \rightarrow T_2$.

. Ainsi, pour obtenir S , appliquons le 2nd principe au système formé de Fe ET DES RÉSISTANCES THERMIQUES, i.e. les parois à travers lesquelles Fe est en contact avec les sources.

Il vient alors :

$$\underbrace{\Delta S_{\text{1 cycle}}}_{\Delta S_{\text{Fe}}} = \underbrace{S_{\text{échangeé}}}_{\frac{Q_1}{T_c}} + \underbrace{S_{\text{réée}}}_{\frac{Q_2}{T_F}}$$

$$\Delta S_{\text{Fe}} + \underbrace{\Delta S_{\text{parois}}}_{\text{néglige' en}} = 0 \quad \frac{Q_1}{T_c} + \frac{Q_2}{T_F}$$

Supposant leurs capacités thermiques très faibles devant celle de Fe

les thermostats sont bien à T_c et T_F pour ce système, alors que pour le système Fe seul on avait des thermostats effectifs à T_1 et T_2 !

(ou en augmentant que ces parois sont si de d'un régime permanent...)

$$\text{d'où } \dot{s} = \frac{\text{Sciee}}{2R} = -\frac{1}{2R} \left(\underbrace{\frac{Q_1}{T_C} + \frac{Q_2}{T_F}}_{\substack{\text{durée} \\ \text{d'un cycle}}} \right)$$

q.v. 24]

$$= \frac{C}{R} \left(1 - \frac{T_1}{T_C} + 1 - \frac{T_2}{T_F} \right)$$

q.v. 26]

$$\dot{s} = \frac{1}{2 - T_C/T_1}$$

$$\begin{aligned} \text{i.e. } \dot{s} &= \frac{1}{2R} \left(x + \frac{1}{2-x/x} - 2 \right) \\ &= \frac{1}{2R} \left(x + \frac{x}{2x-1} - 2 \right) \\ &= \frac{1}{2R} \left(\frac{2x^2 - x + x}{2x-1} - 2 \right) \\ &= \frac{1}{R} \left(\frac{x^2}{2x-1} - 1 \right) \end{aligned}$$

En régime de puissance maximale : $x = x^+ = \frac{1+\sqrt{\eta}}{2}$

$$\therefore 2x^+ - 1 = \sqrt{\eta}$$

$$\therefore x^{+2} = \frac{1+2\sqrt{\eta}+\eta}{4}$$

$$\begin{aligned} \text{d'où } \dot{s} &= \frac{1}{R} \left(\frac{1+2\sqrt{\eta}+\eta}{4\sqrt{\eta}} - 1 \right) \\ &= \frac{1}{R} \left(\frac{1-2\sqrt{\eta}+\eta}{4\sqrt{\eta}} \right) \end{aligned}$$

$$\boxed{\dot{s} = \frac{(1-\sqrt{\eta})^2}{4R\sqrt{\eta}}}$$

$\Rightarrow \dot{s}$ est bien ≥ 0 $\forall \eta$ conformément au 2nd principe.

Et on a $\dot{s} = 0 \Leftrightarrow \eta = 1 \Leftrightarrow T_F = T_C$ ce qui est cohérent puisqu'alors il n'y a plus aucun transfert thermique !

$$(T_F = T_2 = T_1 = T_C)$$

32]

Attention, petite erreur d'énoncé : $\left| \begin{array}{l} T_c = 290 \text{ K} \\ T_f = 220 \text{ K} \end{array} \right.$

les données fournies permettent de calculer Q_1 et Q_2
et on cherche $|W|$, tout cela sur 1 journée.

Ce qui précéde nous a fourni une expression de la puissance
max $P = \frac{T_c}{4R} (1 - \sqrt{\gamma})^2$ mais son utilisation nécessite la
connaissance de R , qu'on ne peut pas obtenir il me semble.

→ La seule possibilité est de calculer Q_2 pris à la température
 $|W|$ à partir du rendement ξ dont on a montré qu'il est
qu'il s'écrit : $\xi = 1 - \sqrt{\gamma}$ en fonctionnement optimal.

expression
fournie
(à l'examen?)

Si on note Δt la durée d'une journée et S l'aire de
la Terre ($S = 4\pi R_T^2$, R_T donnée en degré d'échancé) :

$$P = \frac{|W|}{\Delta t} = \frac{\xi \times Q_1}{\Delta t} \quad \text{avec } Q_1 = I \times S \times \Delta t$$

d'où
$$P = \xi \times I \times S = (1 - \sqrt{\frac{T_f}{T_c}}) \times I \times 4\pi R_T^2$$

AN
$$P = \underbrace{\left(1 - \sqrt{\frac{220}{290}}\right)}_{\approx 2/3} \times 220 \times \underbrace{\frac{4\pi}{6,4^2} \times \underbrace{(6,4 \cdot 10^6)^2}_{10^{12}}}_{\approx 12} \approx 40 \cdot 10^{12}$$

⑤
$$\begin{aligned} & 1 - \sqrt{\frac{220}{290}} \\ &= 1 - \sqrt{1 - \frac{70}{290}} \\ &\approx 1 - \left(1 - \frac{1}{2} \frac{70}{290}\right) \\ &\approx \frac{35}{290} \approx 0,12 \end{aligned}$$

$$P \approx 0,12 \times 220 \times \underbrace{12 \times 40 \times 10^{12}}_{480} \approx 200 \times 500 = 10^5$$

$$P \approx 2 \cdot 10^{16} \text{ W}$$

(ou $4 \cdot 10^{16}$)

33]

on a donc

$$\frac{0,05 \text{ MWh}}{\xi} = P \quad \text{en régime permanent}$$

(toutes les énergies cinétiques
du vent varieront!)

D'où
(+ simple pour l'AN)

$$U = \left(\frac{\xi I}{0,05 e} \right)^{1/3}$$

$$\approx \left(\frac{0,12 \times 220}{0,05 \times 1} \right)^{1/3} = 880^{1/3} \approx 10 \text{ m/s}$$

$$\approx 36 \text{ km/h}$$

Orte de grande vitesse

③ Nucléation et formation des nuages.

34] on considère un équilibre $H_2O_{(e)} = H_2O_{(v)}$

on sait qu'à l'équilibre, l'enthalpie libre de réaction est nulle

$$\text{i.e. } \Delta_r G = \underbrace{\mu_{H_2O_{(v)}}}_{\mu_e(T)} - \underbrace{\mu_{H_2O_{(e)}}}_{\mu_v(T, P_v)} = 0$$

$$= \mu_e(T) = \mu_v(T, P_v) = \mu_v^{(0)}(T) + RT \ln \frac{P_v}{P_0}$$



On utilise la note de l'énoncé. Il s'agit de l'approximation utile qui néglige la dépendance en P de μ pour une phase condensée pure ; $\mu_e(T)$ pourrait être noté $\mu_e^{(0)}(T)$: c'est le pot. chimique standard !

l'annexe de l'énoncé rappelle que pour un mélange de gaz (l'eau est ici mélangée à l'air) le potentiel chimique d'un constituant dépend de sa pression partielle selon cette formule : ($\mu_v^{(0)}$ est le potentiel chimique standard)

→ Ceci nous montre que l'équilibre ne se réalise si

$$P_v = P_0 \exp \left\{ \frac{(\mu_e(T) - \mu_v^{(0)}(T))}{RT} \right\}$$

→ Or, le même raisonnement montre que, dans le cas où le gaz serait uniquement de la vapeur d'eau à la pression P et à la température T , l'équilibre aurait lieu si

$$P = P_0 \exp \left\{ \frac{(\mu_e(T) - \mu_v^{(0)}(T))}{RT} \right\}$$

ce terme est donc la pression de vapeur

saturante $P_{\text{sat}}(T)$

Ccl : L'eau liquide est en équilibre avec sa vapeur, mélangée à l'air, si la pression partielle de vapeur d'eau vérifie

$$P_v = P_{\text{sat}}(T)$$

et on a donc la relation suivante :

$$\mu_e(T) = \mu_v(T, P_{\text{sat}}(T)) .$$



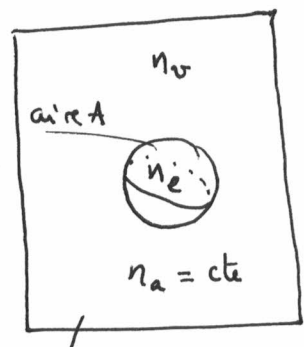
L'étude du changement d'état du corps pur n'est plus au programme en tant qu'tel depuis 2014. Compte tenu que cette qv. 34 n'est pas grisee', elle me semble totalement infaisable dans le cadre du programme, même par de bons élèves.

La propriété $P_v = P_{\text{sat}}(T)$ à l'équilibre $n_{2O}(e) = n_{2O}(v)$ étant déjà nécessaire pour traiter la qv. 11) correctement, en dépit du programme.

35

L'enthalpie libre du système complet s'écrit :

$$G = G_{\text{air}} + G_{\text{eau}(e)} + G_{\text{eau}(v)} + \underbrace{\sigma A}_{\text{Terme de surface}}$$



T et P sont fixés, n_a est fixe et on envisage une variation de n_e, n_v et A par échange d'eau entre le gaz et la gouttelette.

Système

$$\begin{aligned} dG &= \underbrace{dG_{\text{air}}}_{=0} + \underbrace{dG_{\text{eau}(e)}} + \underbrace{dG_{\text{eau}(v)}} + \sigma dA \\ &= \mu_e(T) dn_e = \mu_v(T, P_v) dn_v - dn_e \end{aligned}$$

Gair dépend de T, P et n_a qui sont fixes

$$\hookrightarrow dG = \left\{ \mu_e(T) - \mu_v(T, P_v) \right\} dn_e + \sigma dA$$

Rq : La différence de pression entre l'intérieur et l'ext. de la goutte, due à la tension de surface, est ignorée dans ce raisonnement.

36] La goutte a pour aire $A = 4\pi r^2$ et pour volume $V = \frac{4}{3}\pi r^3$

Ce volume est lié à n_e par la relation suivante :

$$n_e = \frac{m_{H_2O}}{M_{H_2O}} = \frac{\rho_0 \times V}{M_{H_2O}}$$

donc $n_e = \frac{\rho_0}{M_{H_2O}} \times \frac{4}{3}\pi r^3$ d'où $dn_e = \frac{\rho_0}{M_{H_2O}} \times 4\pi r^2 dr$

et on a également $dA = d(4\pi r^2) = 8\pi r dr$

Il vient donc :

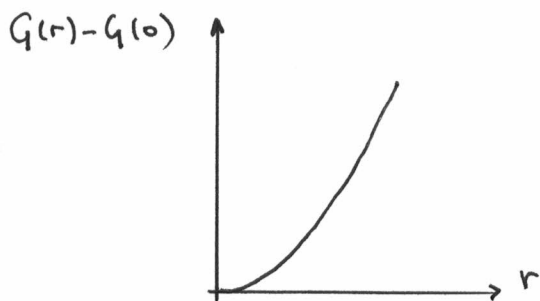
$$dG = \left\{ \left(\mu_e(T) - \mu_v(T, P_v) \right) \times \frac{\rho_0}{M_{H_2O}} 4\pi r^2 + \sigma \cdot 8\pi r \right\} dr$$

37] on intègre :

$$G(r) = \left(\mu_e(T) - \mu_v(T, P_v) \right) \frac{\rho_0}{M_{H_2O}} \frac{4}{3}\pi r^3 + 4\pi \sigma r^2 + Cte$$

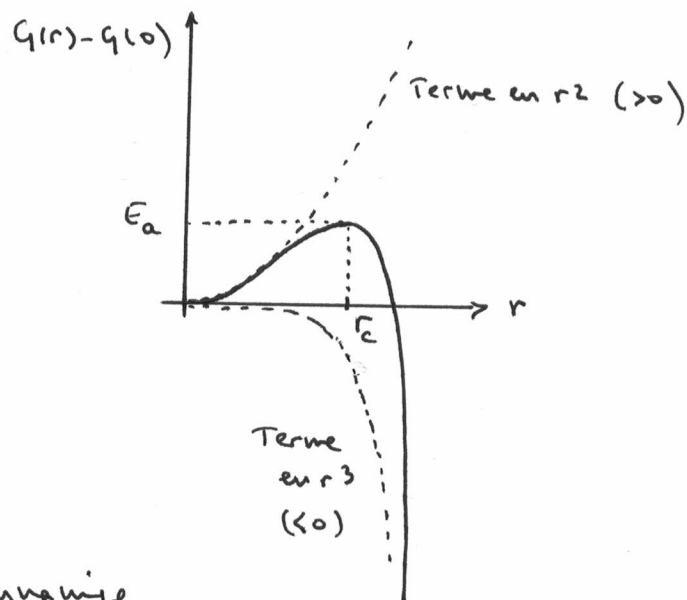
\downarrow
 $G(r=0)$

Si $\mu_e(T) > \mu_v(T, P_v)$:



(Somme de 2 termes > 0
en r^2 et r^3)

Si $\mu_e(T) < \mu_v(T, P_v)$:



38] . G étant le potentiel thermodynamique

il diminue au cours de l'évolution

et en minimum à l'équilibre. On a donc les propriétés suivantes :

* Si $\mu_e(T) > \mu_v(T, P_v)$, r ne peut que diminuer et $r_{eq} = 0$

⇒ La goutte est instable et disparaît.

* Si $\mu_e(\tau) < \mu_v(\tau, p_v)$, l'équilibre de r dépend de son rayon initial r_0 :

↳ si $r_0 < r_c$, r diminue et $r_{eq} = 0$
i.e. la goutte est instable

↳ si $r_0 > r_c$, r croît indefinitely, ce qui montre que la phase liquide n'est pas stable et que toute l'eau va condenser.

↳ En outre, si $r_0 < r_c$, un apport extérieur d'énergie peut permettre d'augmenter G au delà de $G(r_c)$ i.e. de faire croître le rayon de la goutte au-delà de r_c , ce qui provoque ensuite sa croissance.

⇒ L'énergie d'activation définie par l'énoncé est donc

$$\boxed{E_a = G(r_c) - G(0)}$$

• Calcul de r_c et E_a :

* r_c vérifie $\frac{dG}{dr}(r_c) = 0$ soit :

$$(\mu_e - \mu_v) \frac{\rho_0}{M_{H_2O}} 4\pi r_c^2 + \sigma 8\pi r_c = 0$$

i.e.

$$\boxed{r_c = \frac{M_{H_2O}}{\rho_0} \frac{2\sigma}{\mu_v - \mu_e}}$$

$$* E_a = (\mu_e - \mu_v) \frac{\rho_0}{M_{H_2O}} \frac{4}{3}\pi r_c^3 + 4\pi\sigma r_c^2$$

$$= \underbrace{\left[(\mu_e - \mu_v) \frac{\rho_0}{M_{H_2O}} r_c \times \frac{1}{3} + \sigma \right]}_{-2\sigma} \times 4\pi r_c^2 = \frac{4}{3}\pi\sigma r_c^2$$

i.e.

$$\boxed{E_a = \frac{16\pi}{3} \left(\frac{M_{H_2O}}{\rho_0} \right)^2 \frac{\sigma^3}{(\mu_v - \mu_e)^2}}$$

39]

$$\mu_{\text{vap}}(T, P_v) - \mu_e(T) = \mu_v^{(0)}(T) + RT \ln \frac{P_v}{P_0} - \mu_e(T)$$

or on a vu qu. 34] que $\mu_e(T) = \mu_v^{(0)}(T) + RT \ln \frac{P_{\text{sat}}(T)}{P_0}$

donc $\mu_{\text{vap}}(T, P_v) - \mu_e(T) = RT \ln \left(\frac{P_v}{P_{\text{sat}}(T)} \right)$
 $\underbrace{}$
 $\bar{=} \chi$

Alors

$$r_c = \frac{M_{H_2O}}{P_0} \frac{2\sigma}{RT \ln \chi}$$

40] La loi d'Arrhenius prédit une vitesse v renflant :

$$v = A \exp \left(- \frac{E_a}{RT} \right) \quad \text{ou} \quad \ln v = - \frac{E_a}{RT} + \text{cte}$$

or $E_a = \frac{4}{3} \pi \sigma r_c^2$ et proportionnel à $(\ln \chi)^{-2}$
↓
qu. 38]

on a donc

$$\ln v \propto \frac{1}{(\ln \chi)^2} \quad \dots$$

Difficile à commenter...
si ce n'est que

$$\boxed{\chi \downarrow \Rightarrow r_c \uparrow \text{ et } E_a \uparrow}$$

on peut donc dire que

* si $\mu_e(T) > \mu_v(T, P_v)$ i.e. si $P_v < P_{\text{sat}}(T)$ / $\chi < 1$

| la goutte liquide est thermodynamiquement instable
| la phase gazeuse est thermodynamiquement stable

* si $\mu_e(T) < \mu_v(T, P_v)$ i.e. si $P_v > P_{\text{sat}}(T)$ / $\chi > 1$

| la phase liquide est thermodynamiquement stable
| (car $G \downarrow \rightarrow r \rightarrow \infty$) mais la phase gazeuse,
| sans goutte, peut être observée si χ reste proche de 1
| car alors E_a est très élevée (cf qu. 38])
| La phase gazeuse est alors métastable.

41] on reprend l'étude de la qu 36] mais avec :

$$A = \pi r^2 \quad \& \quad V = \frac{\pi r^2 l}{3} = \frac{\pi r^3}{3 \tan \theta} \quad (\tan \theta = r/e)$$

$$\downarrow dA = 2\pi r dr \quad \downarrow n_e = \frac{\rho_0 V}{M_{H_2O}} \quad \& \quad dn_e = \frac{\rho_0}{M_{H_2O}} \frac{\pi r^2 dr}{\tan \theta}$$

$$d' \omega \quad \boxed{dG_l = \left\{ (\mu_e - \mu_{lv}) \frac{\rho_0}{M_{H_2O}} \frac{\pi r^2}{\tan \theta} + \sigma \cdot 2\pi r \right\} dr}$$

42] $G(r)$ aura exact- la même allure que précédemt (même forme polynomiale), seuls les valeurs de r_c et E_a étant modifiés ; je les note r'_c et E'_a .

$$* r'_c \text{ vérifi } \frac{dG}{dr}(r'_c) = 0 \quad \text{soit} \quad \boxed{r'_c = \frac{M_{H_2O}}{\rho_0} \frac{2\sigma \tan \theta}{(\mu_{lv} - \mu_e)} \\ = r_c \times \underline{\tan \theta}}$$

$$* E'_a = G(r'_c) - g(0) = \left((\mu_e - \mu_{lv}) \frac{\rho_0}{M_{H_2O}} \frac{r'_c}{\tan \theta} + 2\sigma \right) \pi r'_c \\ = (\mu_e - \mu_{lv}) \frac{\rho_0}{M_{H_2O}} \frac{\pi r'^3}{3 \tan \theta} + \sigma \pi r'^2 \\ = \underbrace{\left((\mu_e - \mu_{lv}) \frac{\rho_0}{M_{H_2O}} \frac{r'_c}{3 \tan \theta} + \sigma \right) \pi r'^2}_{-2\sigma/3} = \frac{1}{3} \pi \sigma r'^2$$

$$\text{soit} \quad \boxed{E'_a = \frac{4}{3} \pi \left(\frac{M_{H_2O}}{\rho_0} \right)^2 \frac{\sigma^3}{(\mu_{lv} - \mu_e)^2} \times \underline{\tan^2 \theta} = E_a \times \frac{\tan^2 \theta}{4}}$$

43] Si θ est faible, $\tan \theta$ aussi et on peut avoir $E'_a \ll E_a$ ce qui favorise la croissance de la zone liquide, donc l'apparition des mages ..